



# Адаптация формулы притока, используемой в гидродинамических симуляторах относительно размера ячеек геологофильтрационной модели месторождения с трудноизвлекаемыми запасами

Докладчик:

Дуркин С. М., доцент кафедры РЭНГМиПГ, к.т.н.



# Актуальность



В РФ основные запасы нефти вязкостью более 30 мПа·с расположены в Волго-Уральском, Западно-Сибирском и Тимано-Печорском регионах. В этих регионах сконцентрировано более 93 % вязкой нефти.

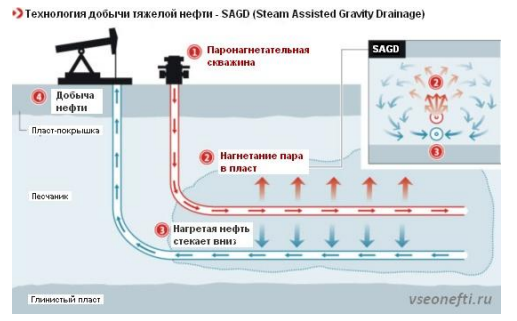


# Инновационная деятельность УГТУ

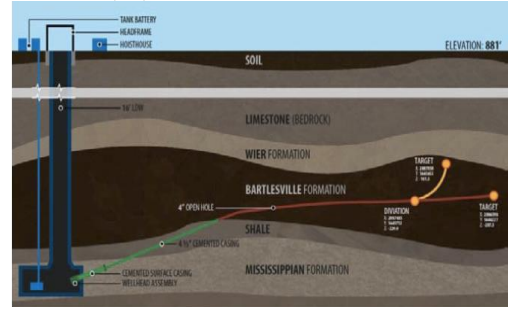


Технологии разработки

- поверхностные



- подземные



В УГТУ на протяжении многих лет функционирует инновационно-образовательный центр освоения ресурсов трудноизвлекаемых запасов. Материально-техническая база удовлетворяет всем современным требованиям. Основные работы научно-исследовательского характера выполняются для компании ООО «ЛУКОЙЛ-Коми».

3



# Ярегское месторождение

1 9	5 8
	HIII - 1 6sec
	7 4
	36 6
	Контур балансовых запасов нефти
	Внешний контур нефтеносности
*****	Линия выклинивания пласта III 🗼 📉 //
	Граница раздела Льаельской и Вежавожской площадей Участок термошахтной разработки на шахтных полях
7.17k	Участок термошахтной разработки на шахтных полях
	Участок разработки тепловым способом с поверхности на Лыаельской площади
200	Запроектированный участок опытно-промышленных работ второй очереди на Лыаельской плошади
	Проектируемый участок добычи титановой руды
	11 1

Геолого-физическая	характеристика средней+верхней пачек (D3dzr+D2st)
пласта III Ль	<b>маельской площади Ярегского месторождения</b>

Абсолютная отметка кровли, м	-24 (от -62 до +16)	
Абсолютная отметка ВНК, м	-60	
Тип залежи	пластовая сводовая	
Тип коллектора	терригенный, трещиновато- поровый	
Площадь нефтеносности, $10^3  \text{м}^2$	24370	
Средняя общая толщина, м	44	
Средневзвешенная нефтенасыщенная толщина, м	10,9	
Средний коэффициент проницаемости, 10-3 мкм2	2200	
Средний коэффициент пористости, доли ед.	0,25	
Средний коэффициент начальной нефтенасыщенности, доли ед.	0,86	
Начальная пластовая температура, °С	8	
Начальное пластовое давление, МПа	1,1-1,4	
Давление насыщения нефти газом, МПа	0,45	
Газовый фактор нефти, $м^3/т$	1,2	
Плотность нефти в пластовых условиях, $\kappa \Gamma/M^3$	933	
Плотность нефти в поверхностных условиях, $\kappa \Gamma/M^3$	945	
Вязкость нефти в пластовых условиях, мПа×с	12000	
Объемный коэффициент нефти, ед.	1,02	
Плотность воды в пластовых условиях, $\kappa \Gamma/M^3$	1002	

# Опыт разработки











## **Технология SAGD**

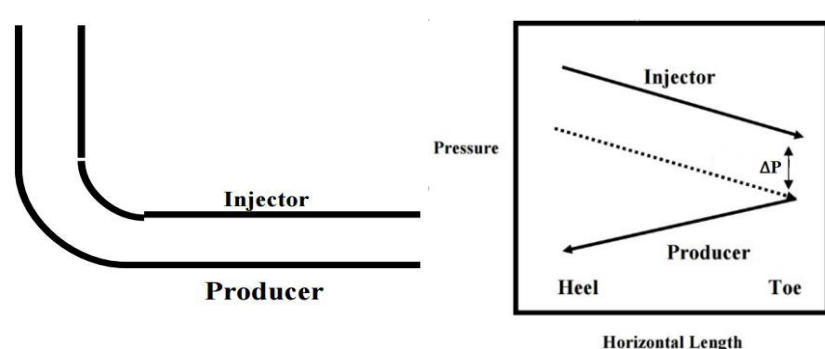
Процесс SAGD впервые начал реализовываться на Ярегском месторождении (1968 г) в термошахтной модификации.

В современной модификации технология разработана Роджером Батлером, инженером канадской компании Imperial Oil в 1970-е годы; первый проект осуществлен на месторождении Cold Lake в 1980 г.

🄰 Технология добычи тяжелой нефти - SAGD (Steam Assisted Gravity Drainage)

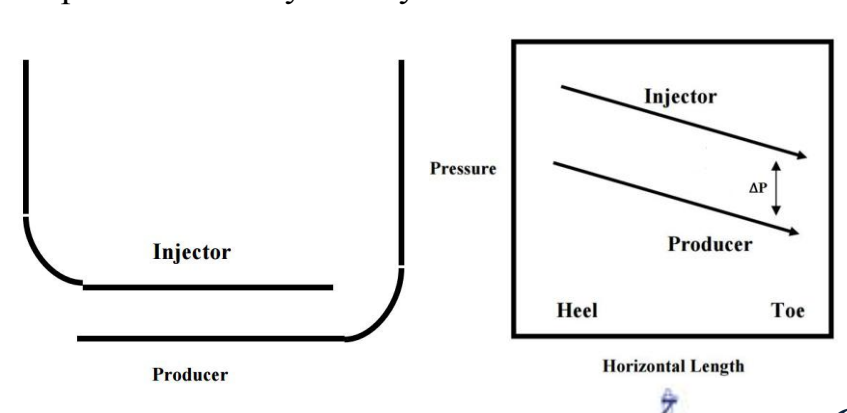


#### Классическая технология SAGD



#### Технология встречного SAGD

Позволяет выровнять закачку пара по горизонтальному стволу скважины.

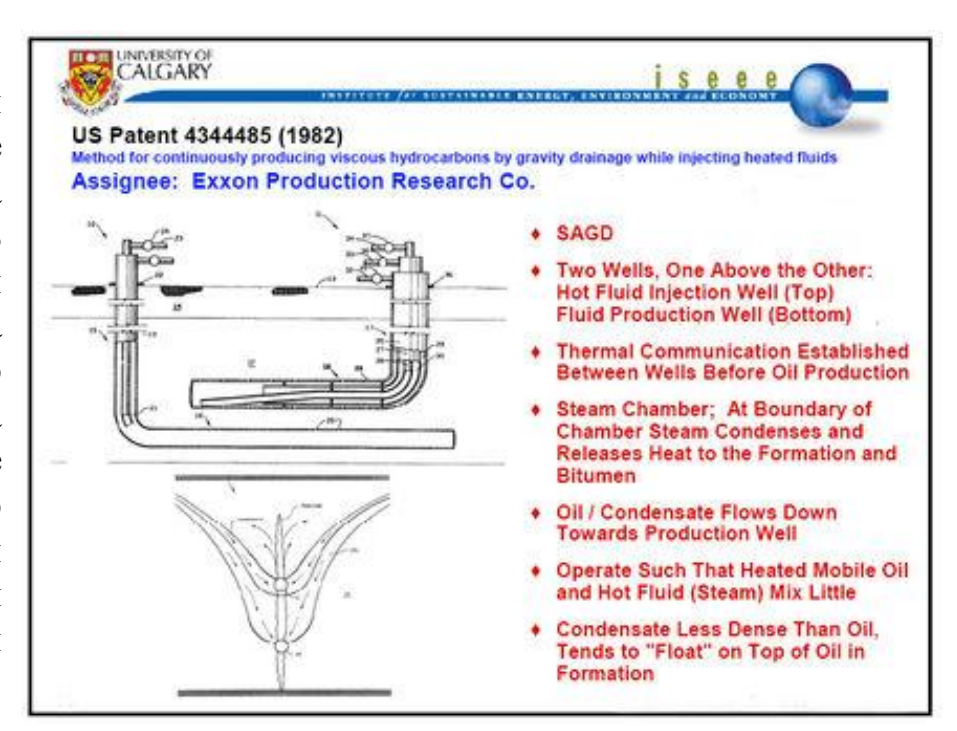




# Первые пилотные проекты SAGD

#### Канала

Первый пилотный проект SAGD был отработан канадскими разработчиками на крупнейшей в мире залежи природных битумов – на песчаниках Атабаска в Канаде. В течение первой стадии проекта в 1988 году было пробурено три пары скважин с длиной горизонтального участка 60 м. В этих скважинах была отработана классическая схема парогравитационного дренажа. КИН по элементу составил 50 %, а паронефтяное накопленное соотношение не превысило 2,5 т/т, что подтвердило экономическую рентабельность проекта. На следующей стадии проекта в 1993 году была начата коммерческая разработка залежи тремя парами скважин с длиной горизонтального участка 500 м.



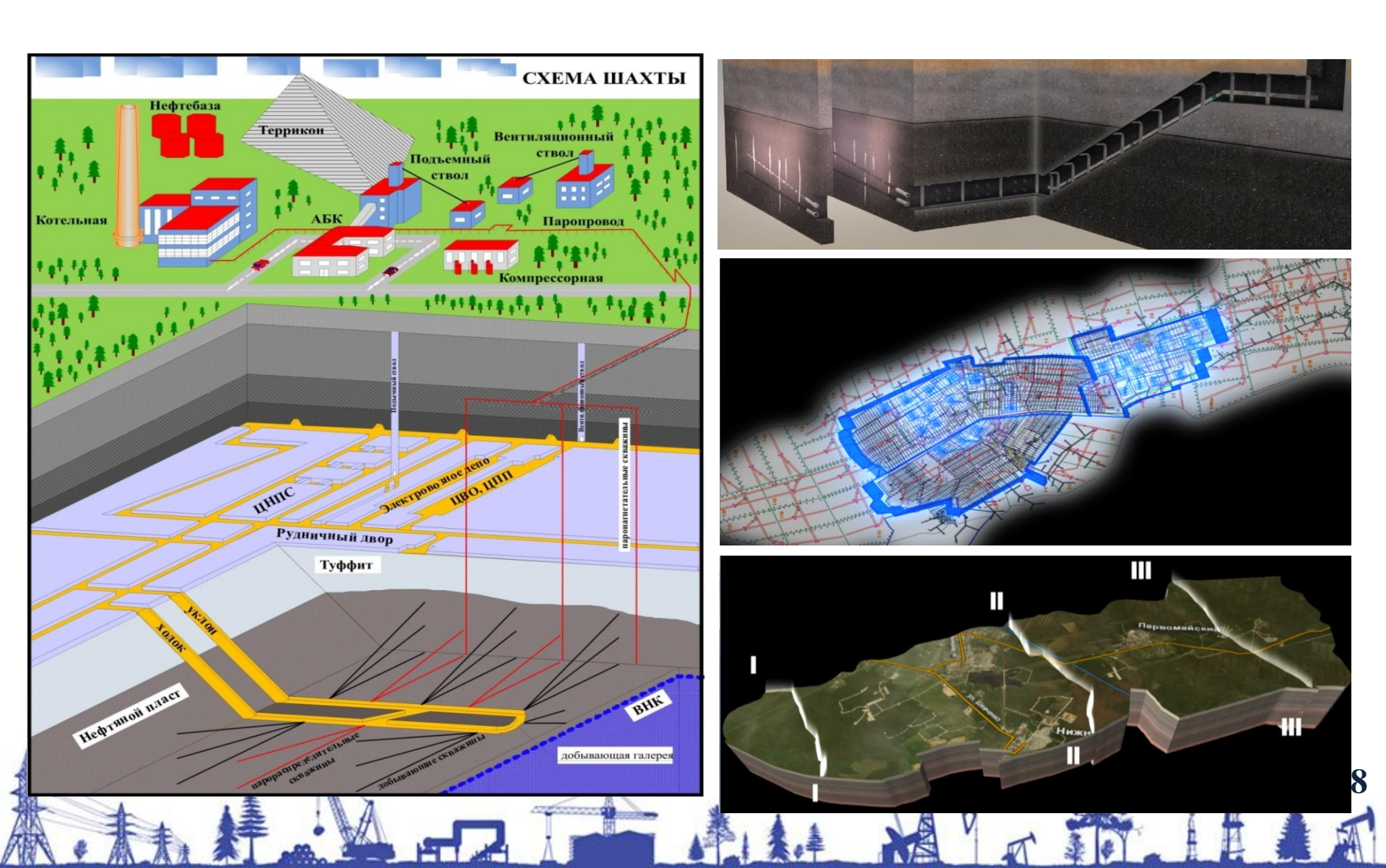
#### Венесуэла

В другой крупнейшей по запасам тяжелых углеводородов стране Венесуэле первый пилотный проект SAGD был запущен в декабре 1997 года. Результаты опытных работ показали, что разработка залежей высоковязкой нефти ( $10\ 000-45\ 000\ \text{м}$ Па·с) новым методом повышает КИН до 60 % по сравнению с 10 % при циклической паротепловой обработке скважин.



# A.

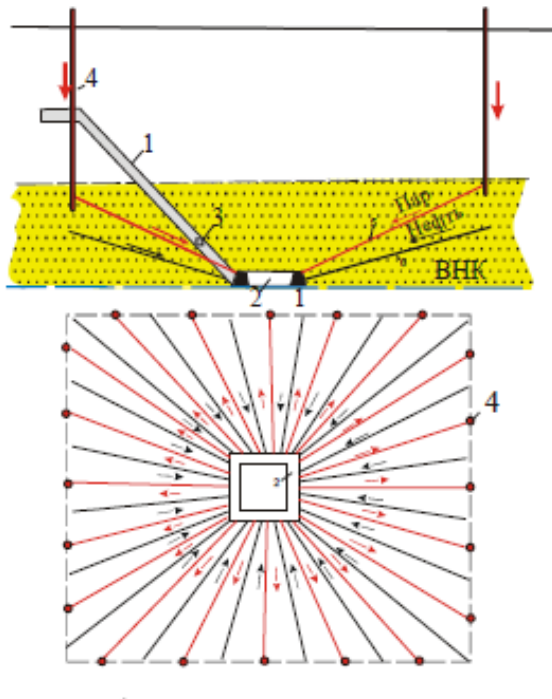
# Термошахтный метод



# Термошахтные технологии

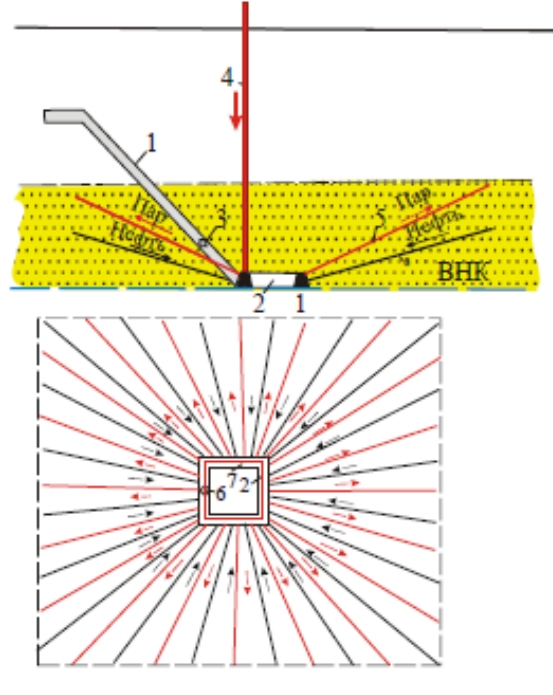
# Подземно-поверхностная система

# Одногоризонтная система









- 1 уклон
- 2 буровая галерея
- 3 насосная
- 4 пароподающая скважина
- 5 паронагнетательная скажины
- 6 добывающая скважина



- 2 буровая галерея
- 3 насосная
- 4 паронагнетательные скважины
- 5 парораспределительные скажины
- 6 добывающие скважины



# Первые опытно-промышленные работы (НШ-2)

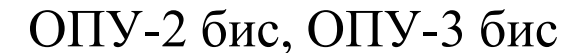


СХЕМА РАЗБУРИВАНИЯ Уклон Северный "ОПУ - 2 бис" (НШ-2) Площадь участка - 4,7 га

Фонд скважин для бурения - 45 (10872 п.м)

в том числе: нагнетательных - 16 (4146 п.м)

добывающих - 23 (5196 п.м)

контрольных - 6 (1530 п.м)

примечание: угол наклона контрольных скважин - 4°

СХЕМА РАЗБУРИВАНИЯ Уклон Северный "ОПУ - 3 бис" (НШ-2) Площадь участка - 4,3 га

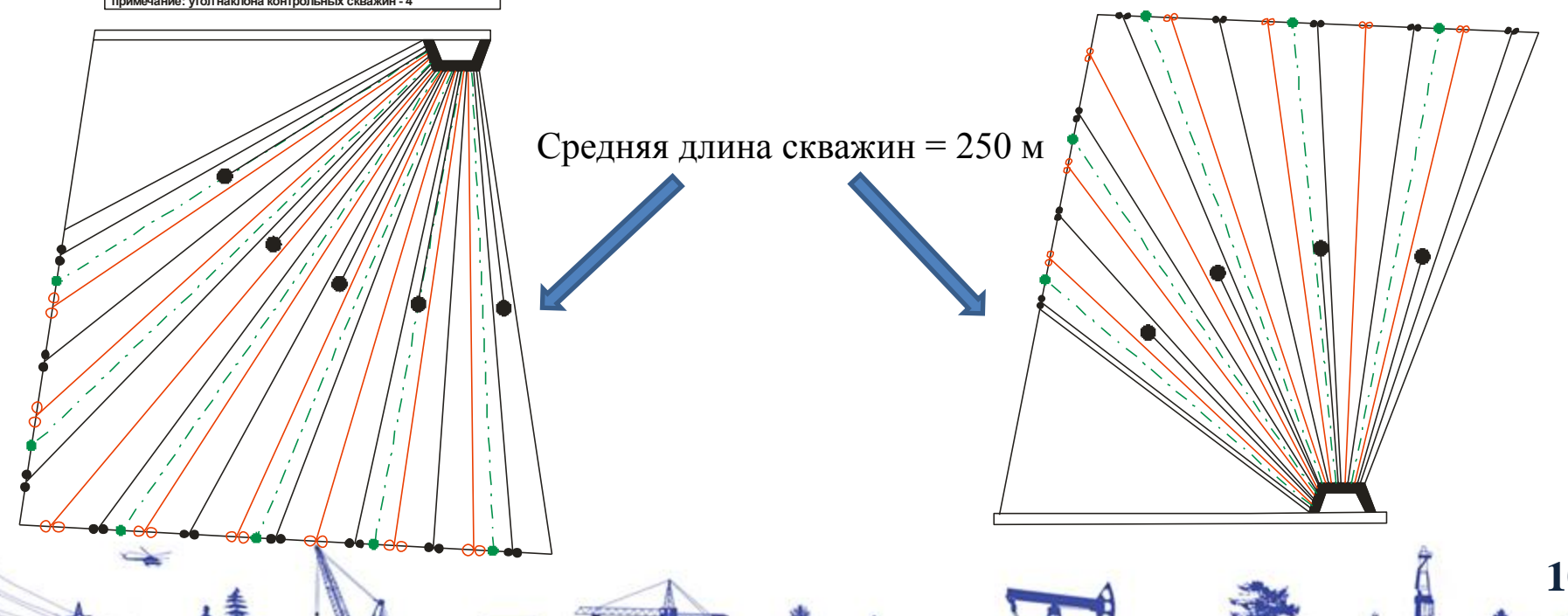
Фонд скважин для бурения - 39 (8477 п.м)

в том числе: нагнетательных - 14 (3228 п.м)

добывающих - 20 (4120 п.м)

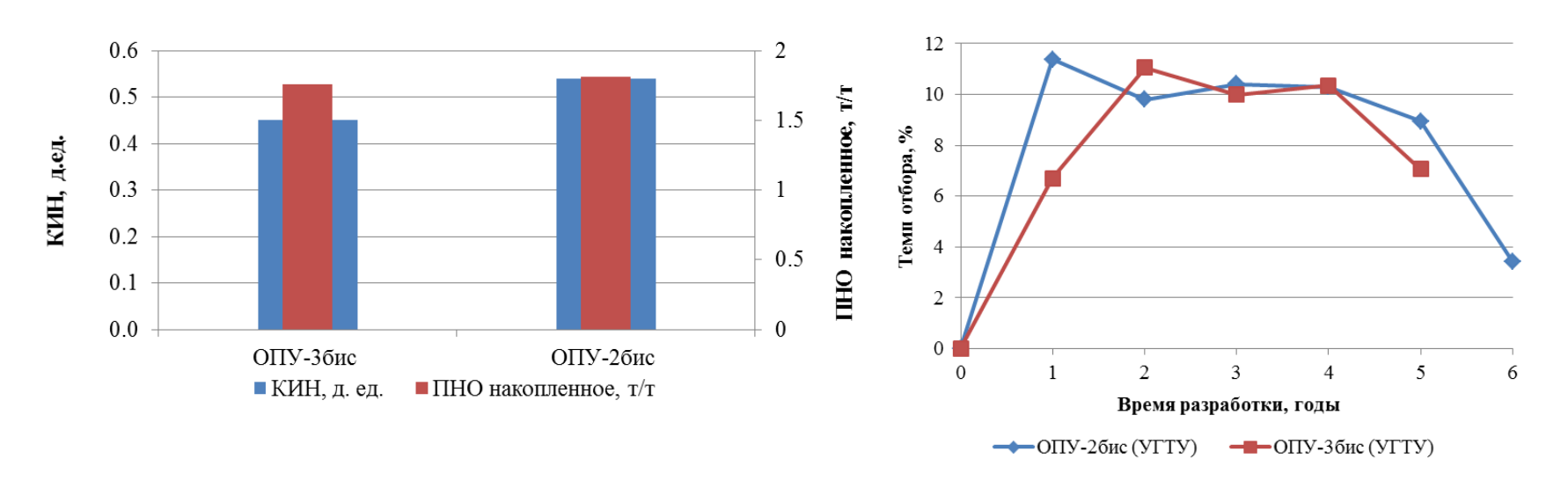
контрольных - 5 (1129 п.м)

примечание: угол наклона контрольных скважин - 4°





# Результаты экспериментальных работ



На 01.10.2017 г. коэффициент извлечения нефти за счет ввода тепла по участкам составил:

ОПУ-2бис -52,2%;

ОПУ-3бис -45,2%;

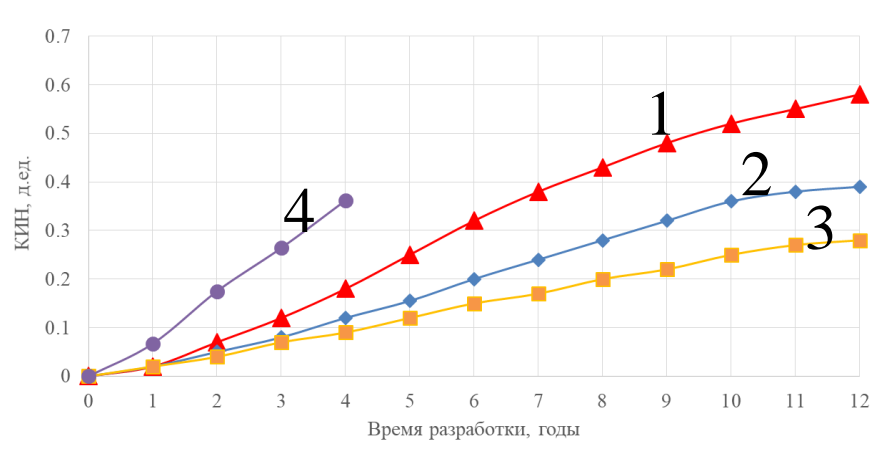
На 01.10.2017 г. накопленное паронефтяное отношение составило:

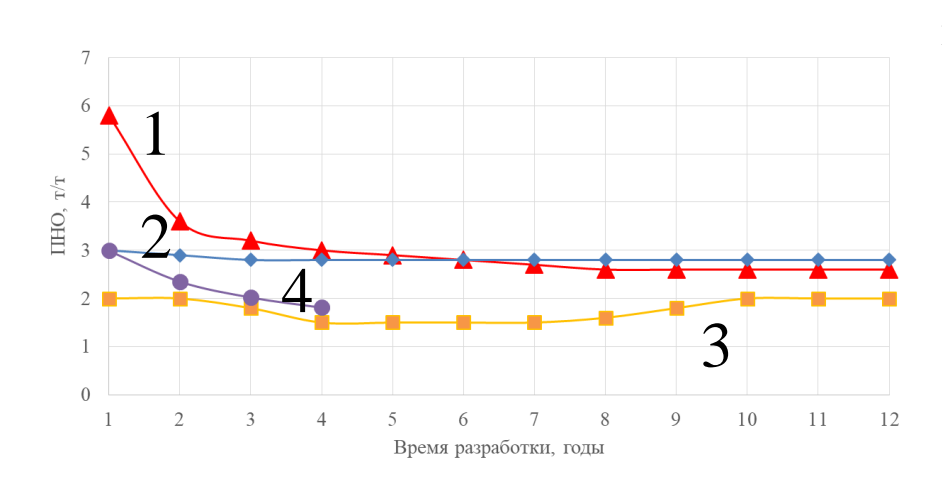
ОПУ-2бис -1,81 т/т;

ОПУ-3бис -1,76 т/т.



# Результаты сопоставления термошахтных систем (в динамике)





Динамика КИН, накопленного ПНО при реализации подземно-поверхностной (1), двухгоризонтной (2), одногоризонтной (3), модернизированной одногоризонтной (4) систем термошахтной разработки.

Внедрение модернизированной одногоризонтной системы позволяет повысить темпы нефтеотдачи.



# Вторые опытно-промышленные работы (НШ-3)

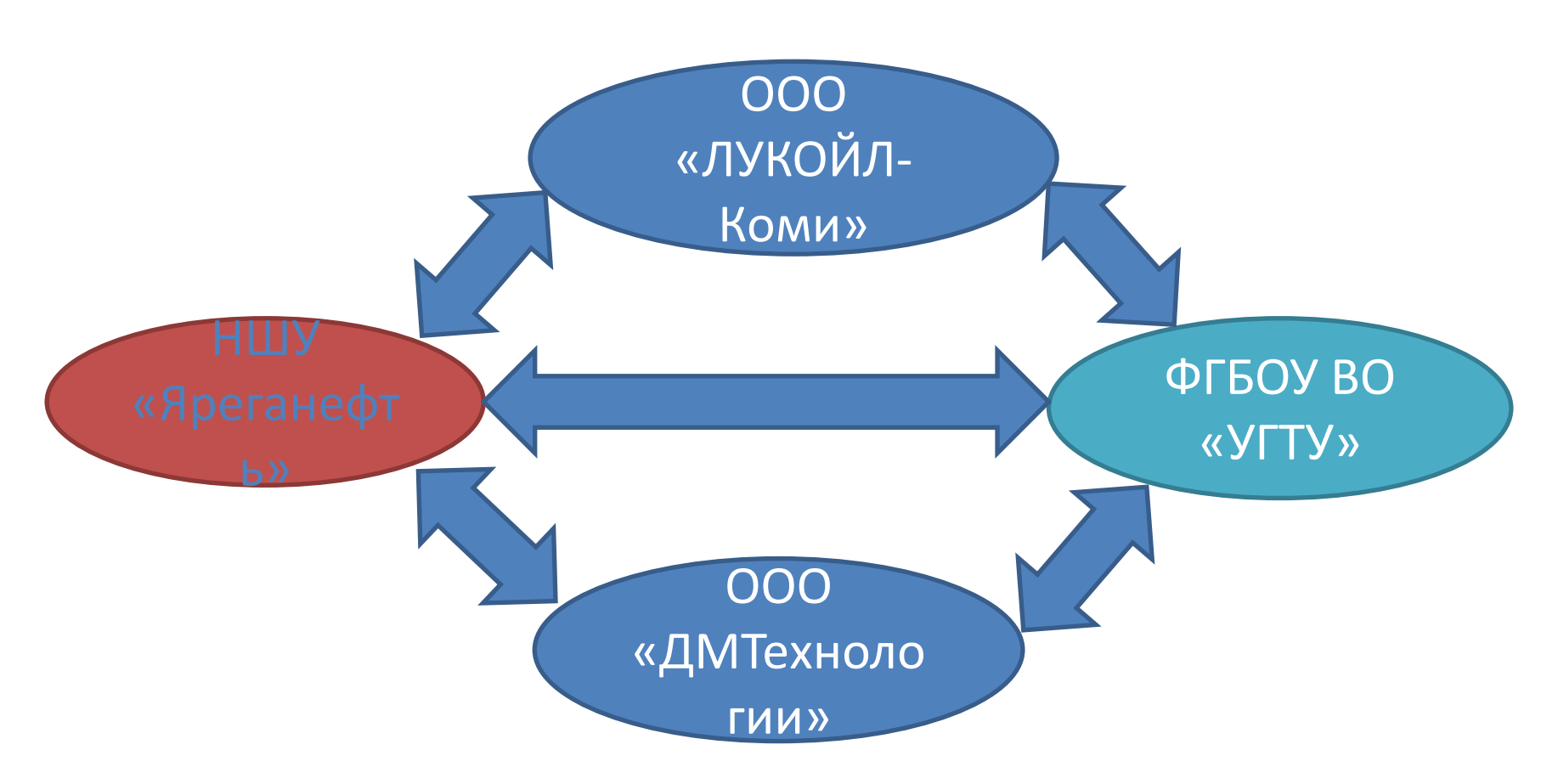
Шахтный блок 2T-4 приурочен к нефтяной шахте № 3 и имеет следующе расположение (выделен красной рамкой)



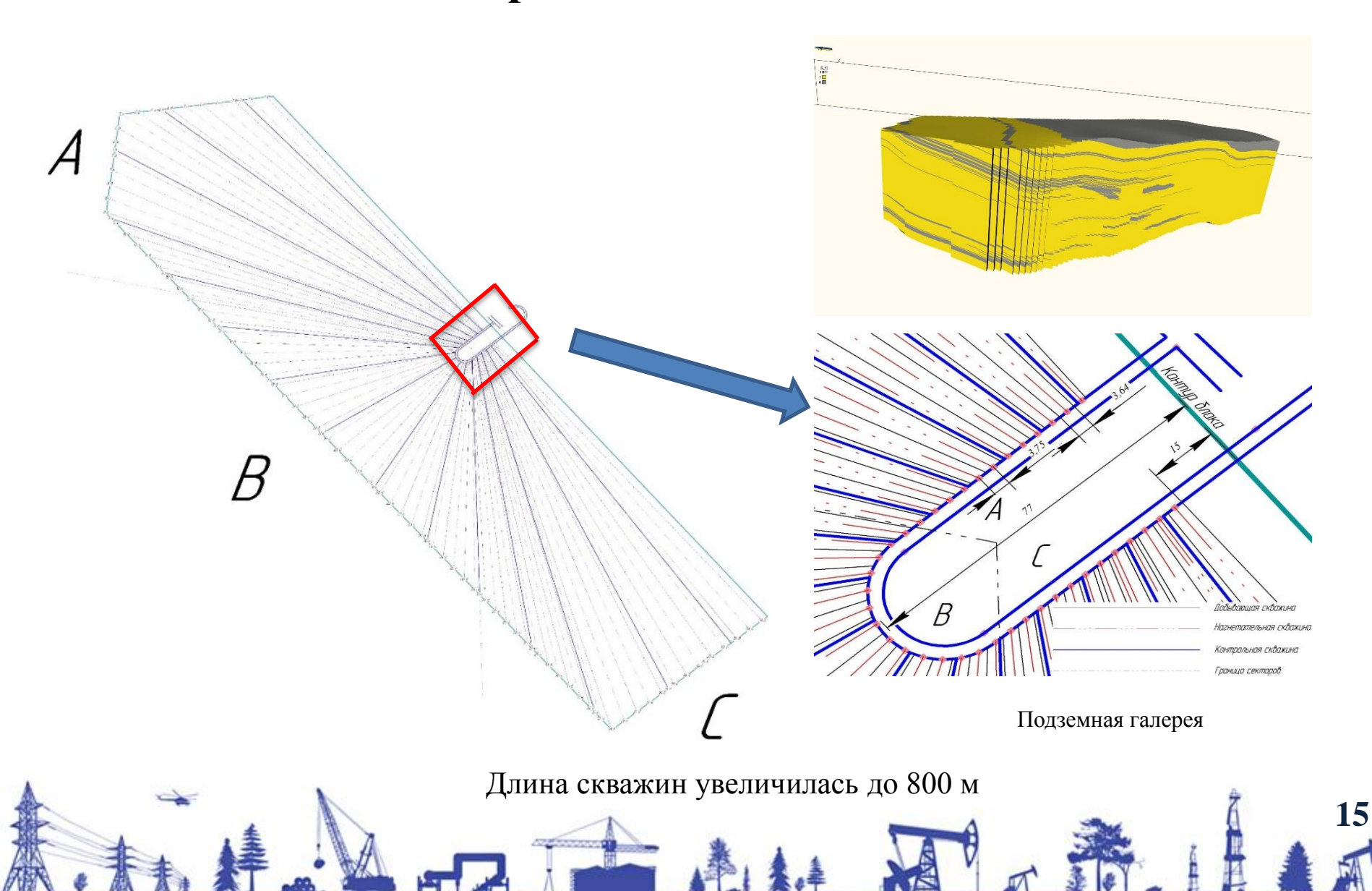
В уклонном блоке 2Т-4 впервые при одногоризонтной системе использоваться скважины длиной до 800 м. Увеличение длины скважин почти в 3 раза потребует увеличения параметров закачиваемого пара, что в потребует принятия очередь свою технических решений, и новых совершенствования всего прежде конструкций скважин. Учитывая, что многие решения будут испытываться в блоке 2Т-4 впервые, их эффективность будет оцениваться В процессе разработки блока. В связи с этим опытный следует подчеркнуть характер проводимых работ.



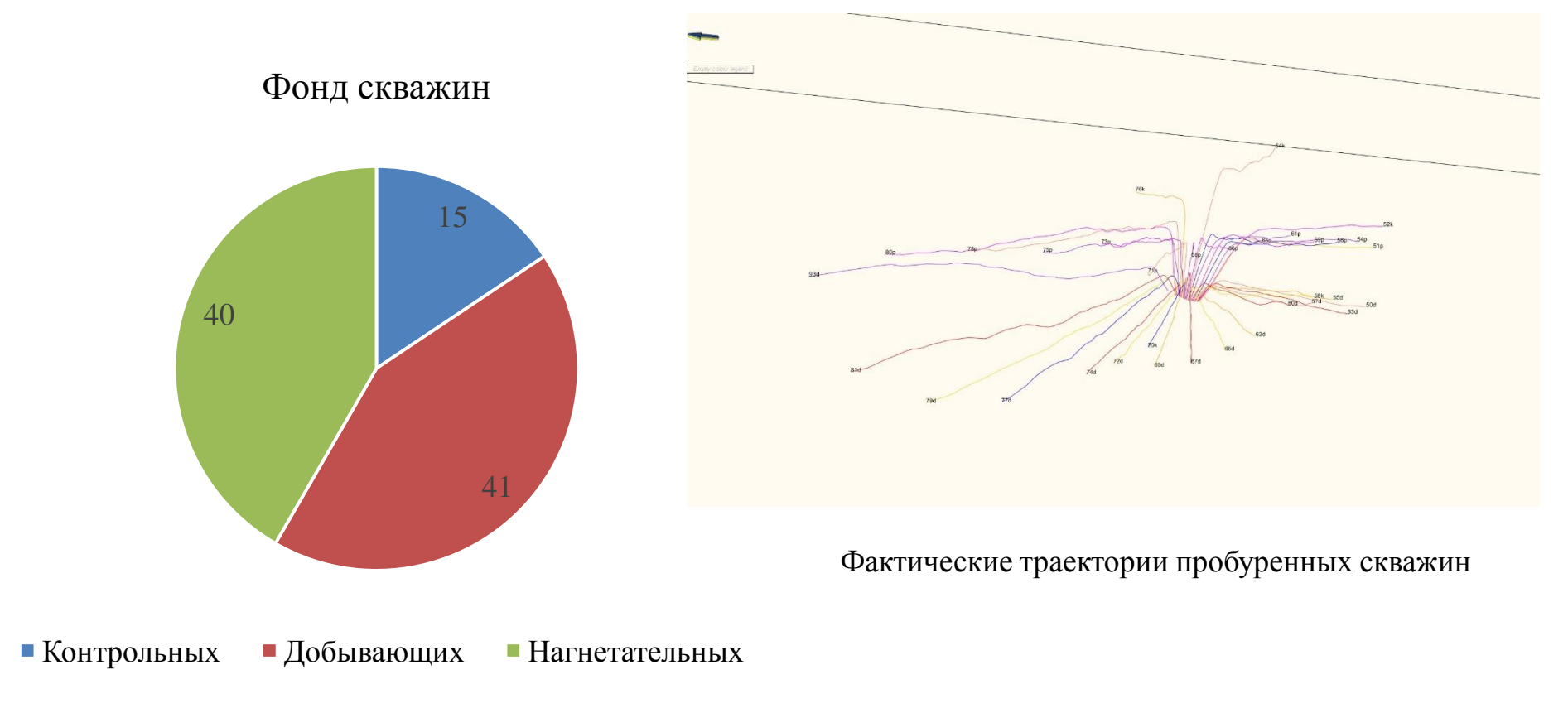
# Схема взаимодействия при реализации ОПР



# Схема расположения скважин

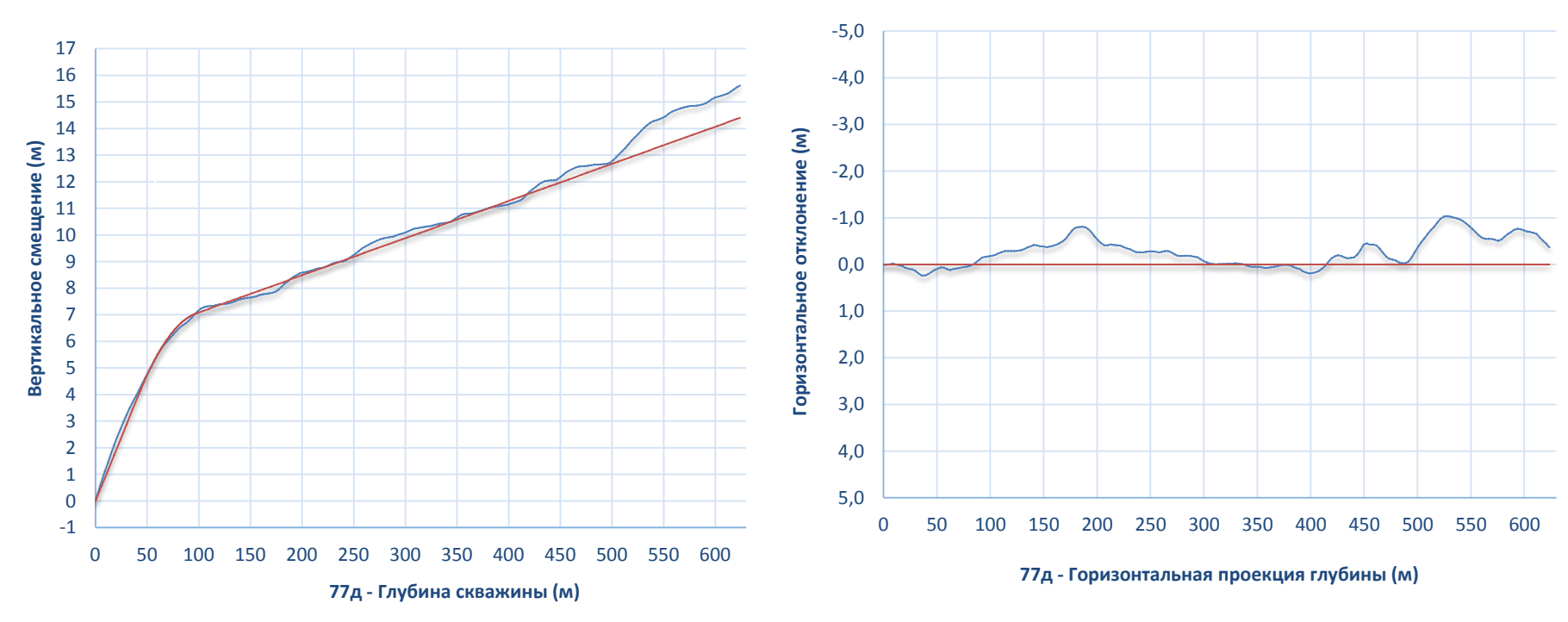


# Данные по скважинам блока 2Т-4



Бурение подземных скважин началось 14.06.2017 г. со скважины №55д. На данный момент пробурено 36 стволов скважин, из них 16 добывающих, 14 паронагнетательных и 6 контрольных, пробурено 14335 метров проектной глубины. Бурение ведется с помощью двух буровых станков РН-25 и ПРС.

# Контроль качества бурения подземных скважин



Сопоставление фактической и проектной траектории скважины №77д

- проектная траектория скважины
- фактическая траектория скважины





# Лаборатория моделирования



Численное моделирование позволяет предсказать показатели разработки и выбрать наиболее эффективный сценарий



# Анализ чувствительности размера ячейки

Авторы Дуркин С.М., Меньшикова И.Н., Терентьев А.А. «Моделирование показателей разработки залежей высоковязкой нефти»

http://ogjrussia.com/nomer-2017-iyuly

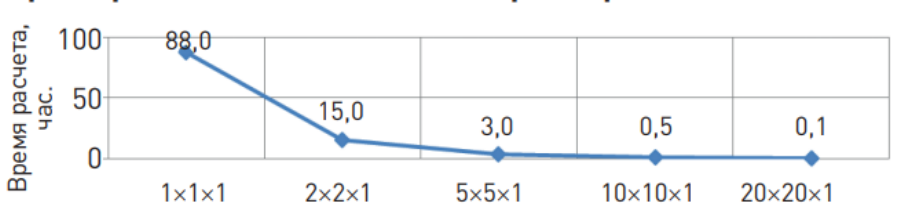
### Вертикальные скважины

№ варианта	Размеры ячеек по осям X×Y, м
1	1×1
2	2×2
3	4×4
4	6×6
5	8×8
6	10×10
7	15×15
8	20×20

## Горизонтальные скважины

№ варианта Размеры ячеек по осям X×Y×Z, м		Количество ячеек по осям X×Y×Z
1	1×1×1	100×1000×27
2	2×2×1	50×500×27
3	5×5×1	20×200×27
4	10×10×1	10×10×27
5	20×20×1	5×50×27

#### Время расчета в зависимости от размеров ячеек





# Результаты расчета

Технологические показатели	Размеры ячеек, м				
разработки месторождения	1×1×1 (базовый)	2×2×1	5×5×1	10×10×1	20×20×1
Накопленная добыча нефти, тыс. т	270,2	268,9	272,2	124,5	125,7
Накопленная добыча жидкости, тыс. т	1092,0	1091,6	1085,2	525,0	497,3
Накопленная закачка пара, тыс. т	823,1	824,1	815,2	418,4	389,9
ПНО, т/т	3,05	3,06	2,99	3,36	3,10
КИН, доли ед.	48,30	48,08	48,65	22,25	22,47
Ошибка мат. баланса	1,1270	0,8760	0,7587	0,9523	0,4271

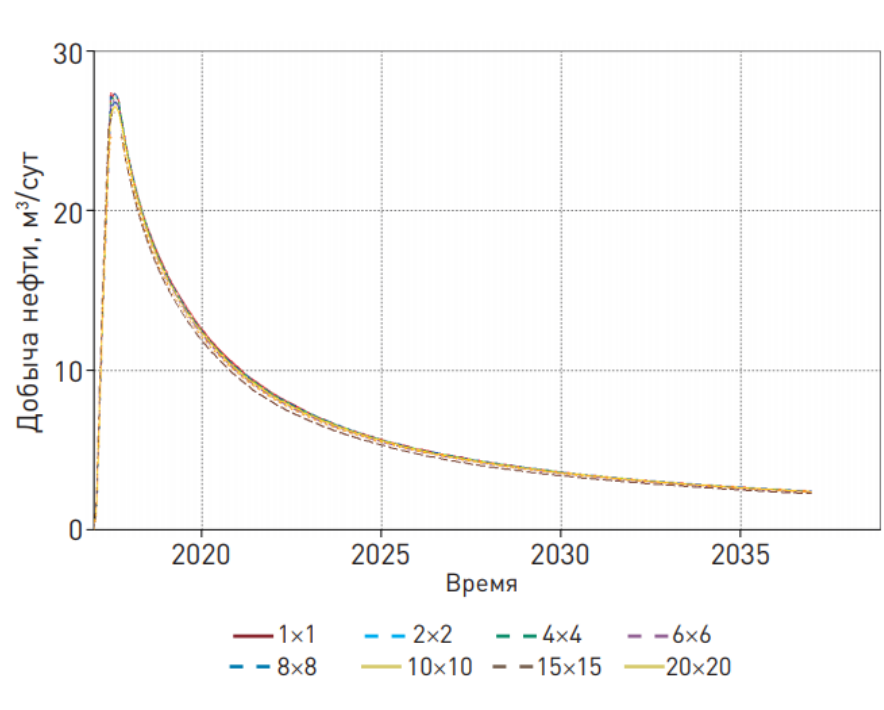
Накопленные технологические показатели.

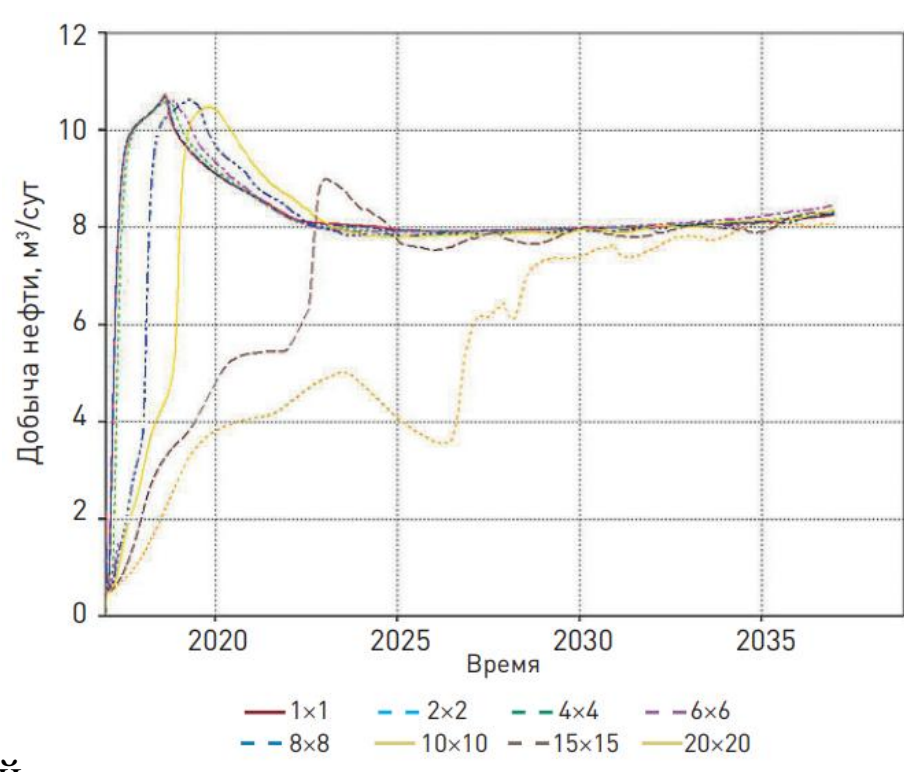


Ошибки расчета накопленных показателей разработки в зависимости от размера ячеек.



# Результаты расчета



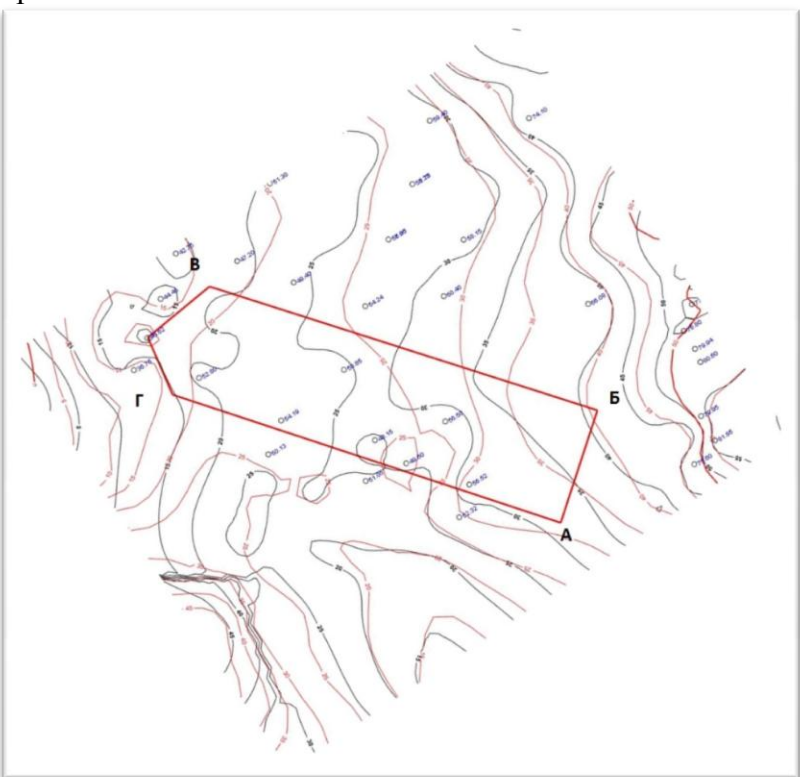


Текущая добыча нефти при изотермической фильтрации

Текущая добыча нефти при неизотермической фильтрации

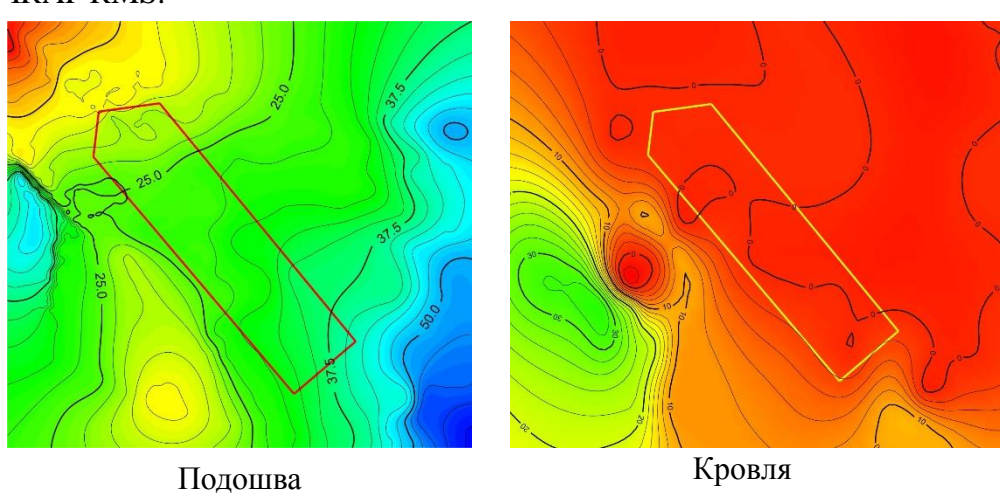
# Исходная информация

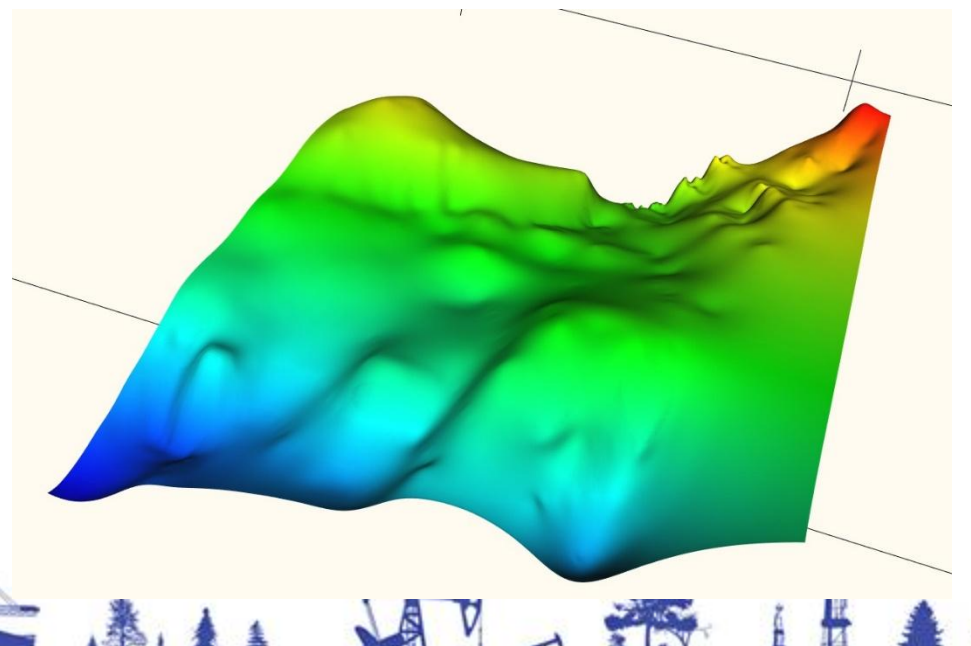
Для уточнения модели, были оцифрованы карты подошвы и кровли участка Ярегского месторождения в районе блока 2T-4 НШ-3.



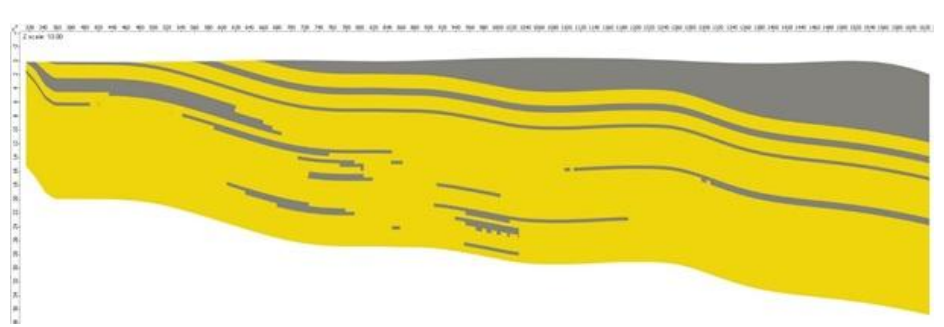
По полученным структурным картам с помощью программы IRAP RMS построены поверхности подошвы и кровли участка Ярегского месторождения.

По полученным оцифрованным картам построены структурные карты участка Ярегского месторождения в программе IRAP RMS.

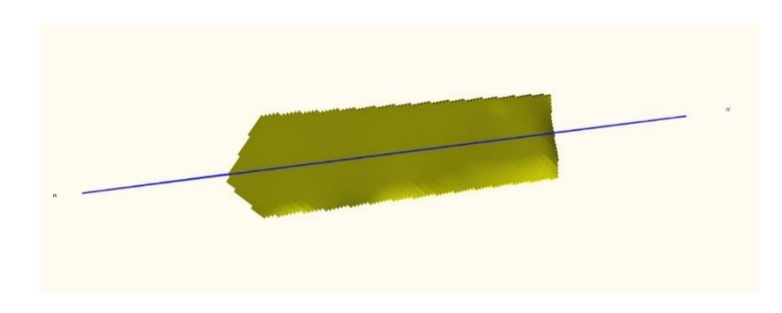




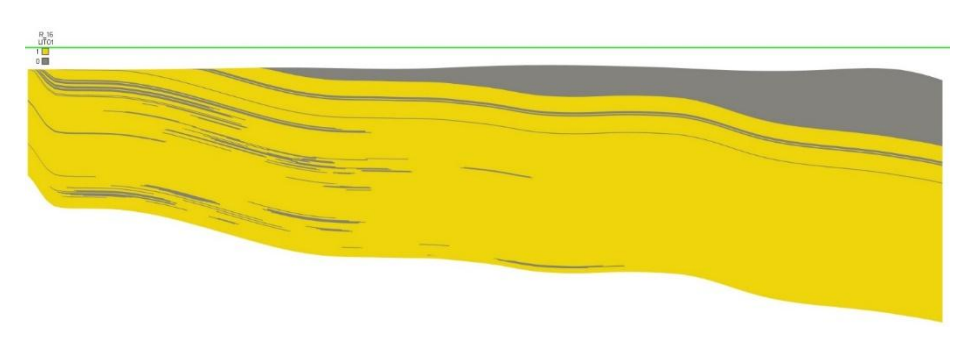
# 3D модель



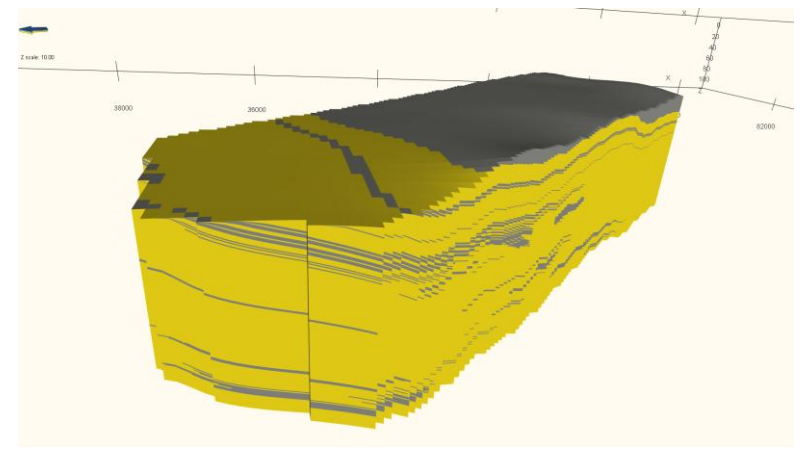
Модель построенная по скважинам 1940-х и 1950-х годов



Разрез блока 2Т-4 (вид сверху)



Модель построенная по скважинам 1940-х и 1950-х годов и по гамма-каротажу 42-х пробуренных проектных скважин

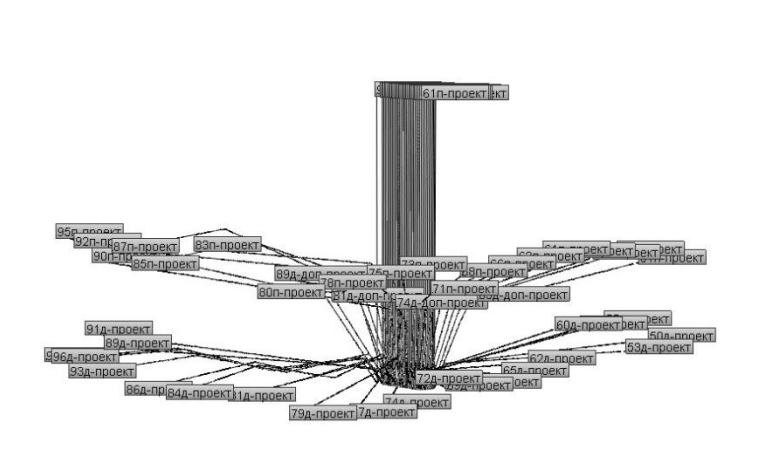


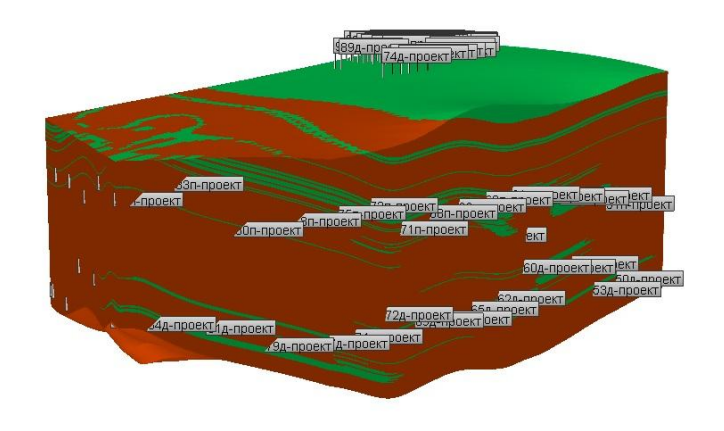
3D модель построенная по скважинам 1940-х и 1950-х годов и по гамма-каротажу 42-х пробуренных проектных скважин



# Актуализированная гидродинамическая модель

После создания актуализированной геологической модели, были построены гидродинамические модели сектора А блока 2Т-4 с размерами ячеек 5х5х0.1 и 10х10х0.2 для симулятора СМG. Сектор А был выбран, так как в нём пробурены практически все скважины и готовы все ГТН на бурение скважин, по которым строились траектории скважин для гидродинамической модели.







По каждой скважине прописаны технологические режимы, заданы термогидродинамические и емкостные свойства модели, которые были установлены в мини-проекте по разработке блока 2Т-4. Так же были соблюдены траектории и интервалы перфораций по каждой скважине согласно ГТН на бурение.

			Общее	Размер ячейки	
Модель блока 2Т-4	Количество ячеек по горизонтали	Количество слоев по вертикали	количество ячеек	по горизонтали, м	по вертикали , м
5x5x0.1	70x120	315	2 646 000	5x5	0,1

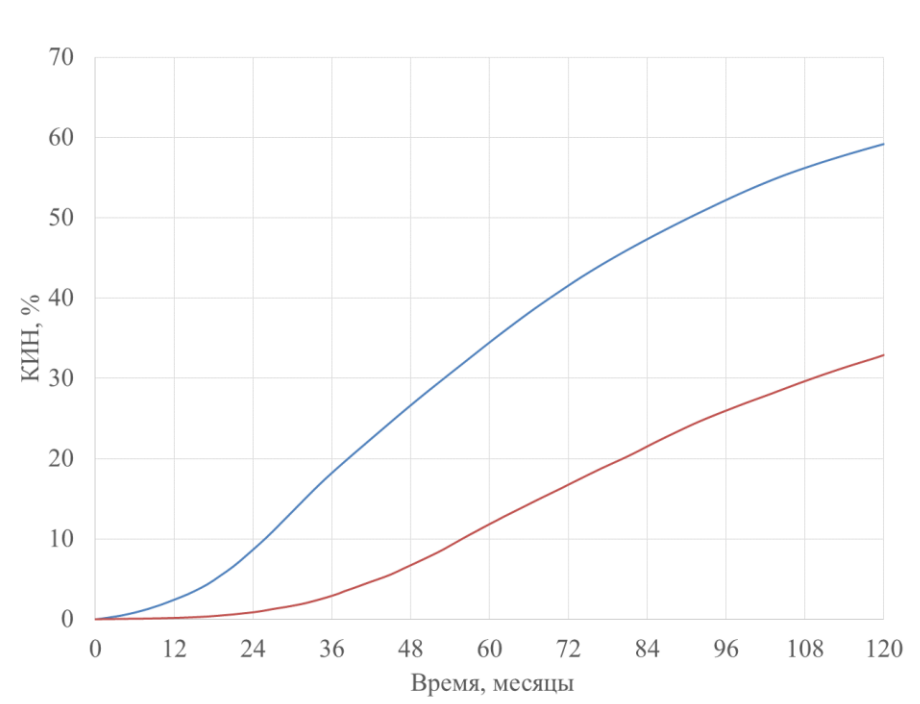
# Результаты моделирования

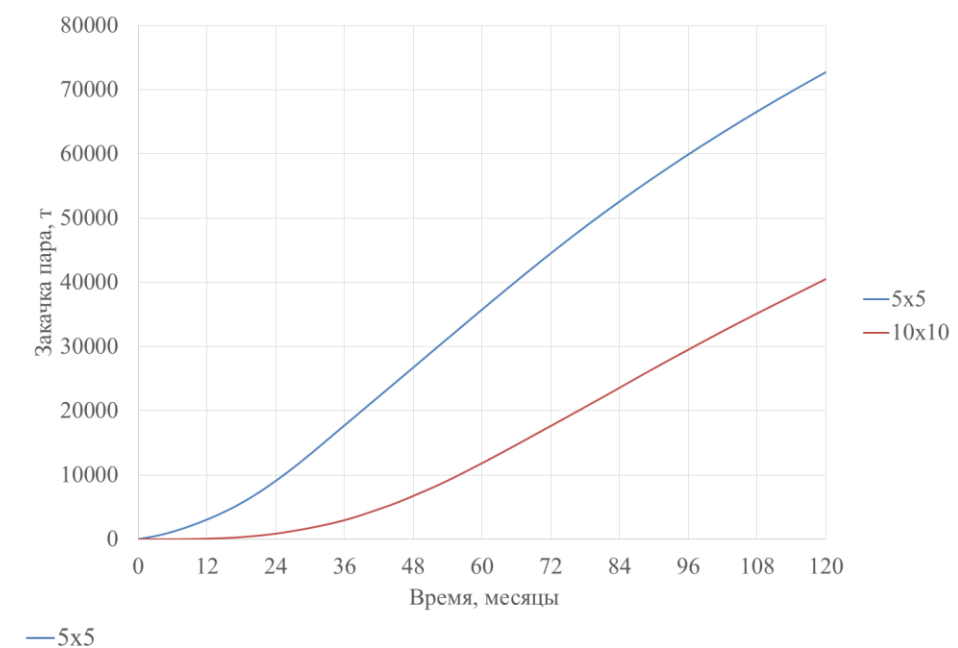
По полученным гидродинамическим моделям с параметрами 5x5 м и 10×10 м был произведен расчет в программном комплексе CMG модуле STARS. Расчетное время было принято 10 лет.

-10x10

## Ошибка материального баланса

5x5 - 1,734 % 10x10 - 0.580 %





Приведенные результаты необходимости свидетельствуют 0 адаптации формулы притока

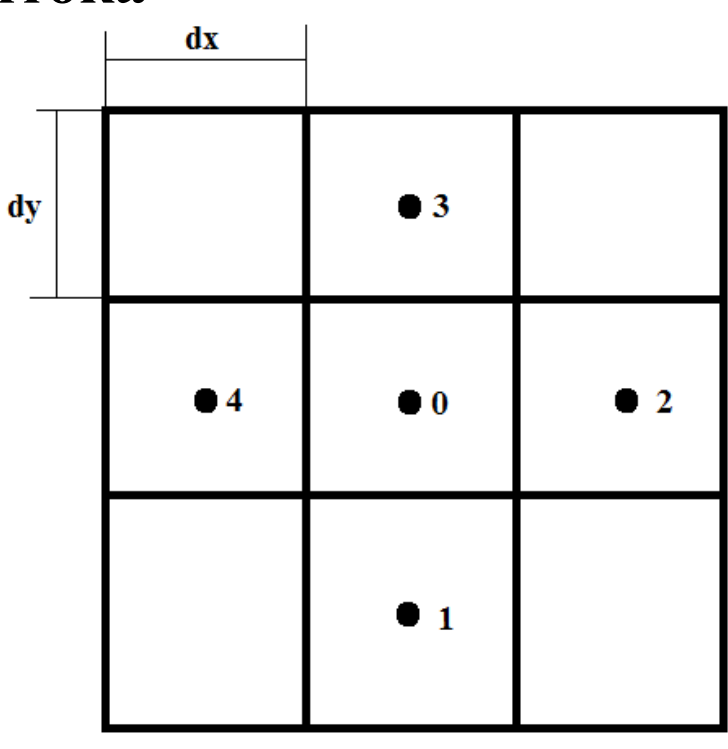
# Формула притока

$$q = \frac{2\pi kh}{\mu} \left[ \frac{p_0 - p_w}{\ln\left(\frac{r_0}{r_w}\right)} \right]$$

$$p_i = p_o + \frac{q\mu}{2\pi kh} \ln\left(\frac{\Delta x}{r_o}\right)$$

$$\frac{kh}{\mu} (p_1 + p_2 + p_3 + p_4 - 4p_o) = q$$

$$\frac{r_o}{\Delta x} = \exp\left(-\frac{\pi}{2}\right) = 0.208$$



# Analytical Well Models for Reservoir Simulation

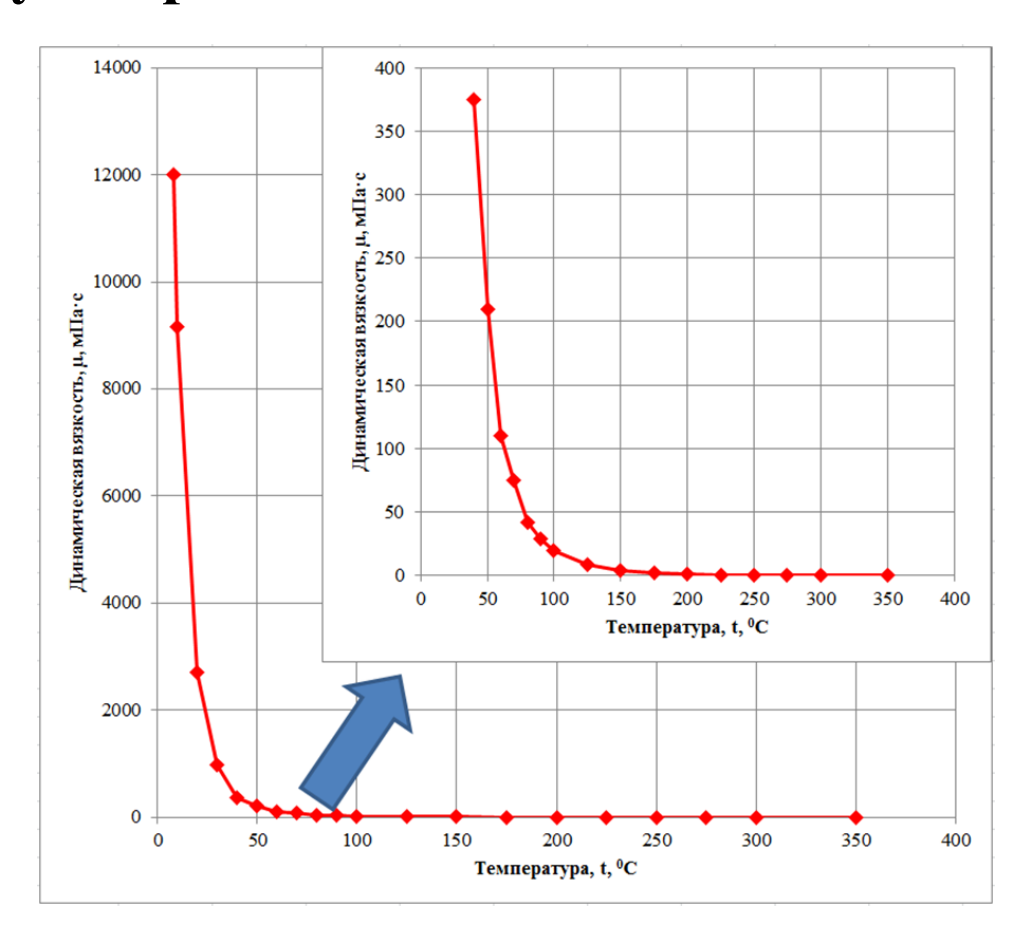
Jamal H. Abou-Kassem, SPE, U. of Petroleum and Minerals Khalid Aziz, SPE, Stanford U.



# Формула притока

$$q = \frac{2\pi kh}{\mu(T)} \left| \frac{p_0 - p_w}{\ln\left(\frac{r_0}{r_w}\right)} \right|$$

На основе балансовых соотношений сохранения массы и энергии разработана двухфазная математическая модель «нефть-горячая вода»

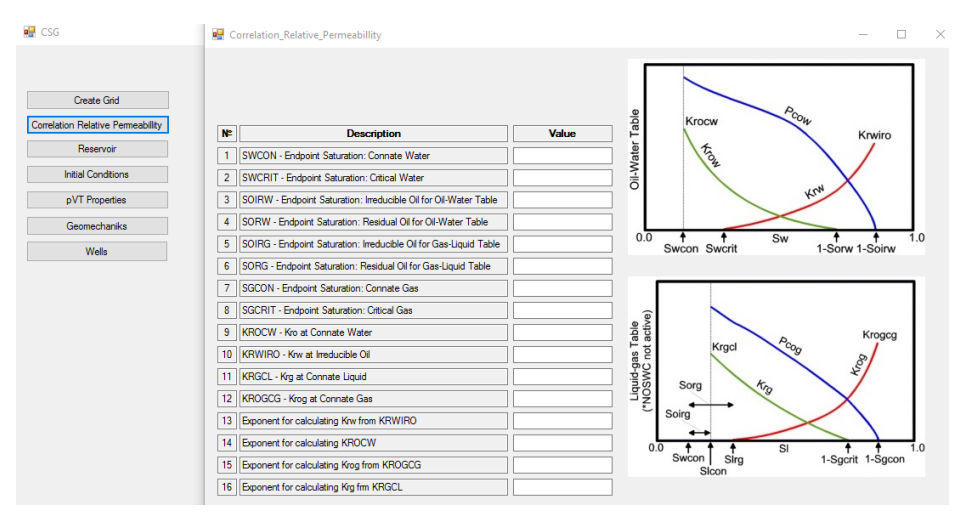


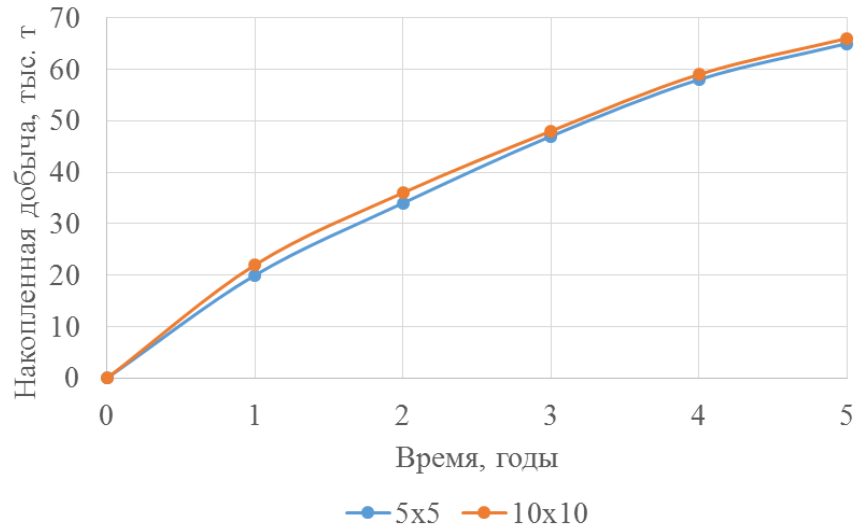
Зависимость вязкости от температуры



# Предлагаемое решение

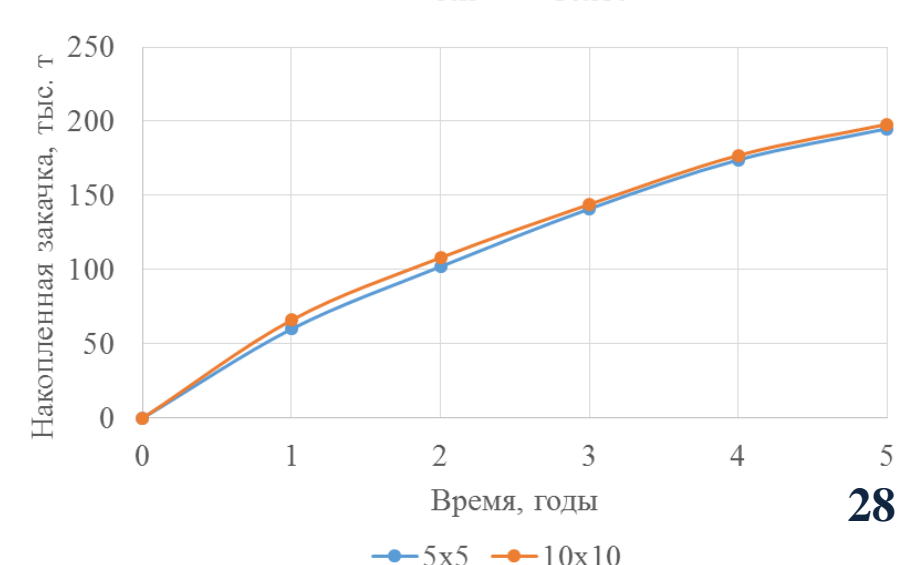
# Собственный симулятор





# Библиотека Intel MKL (солвер)

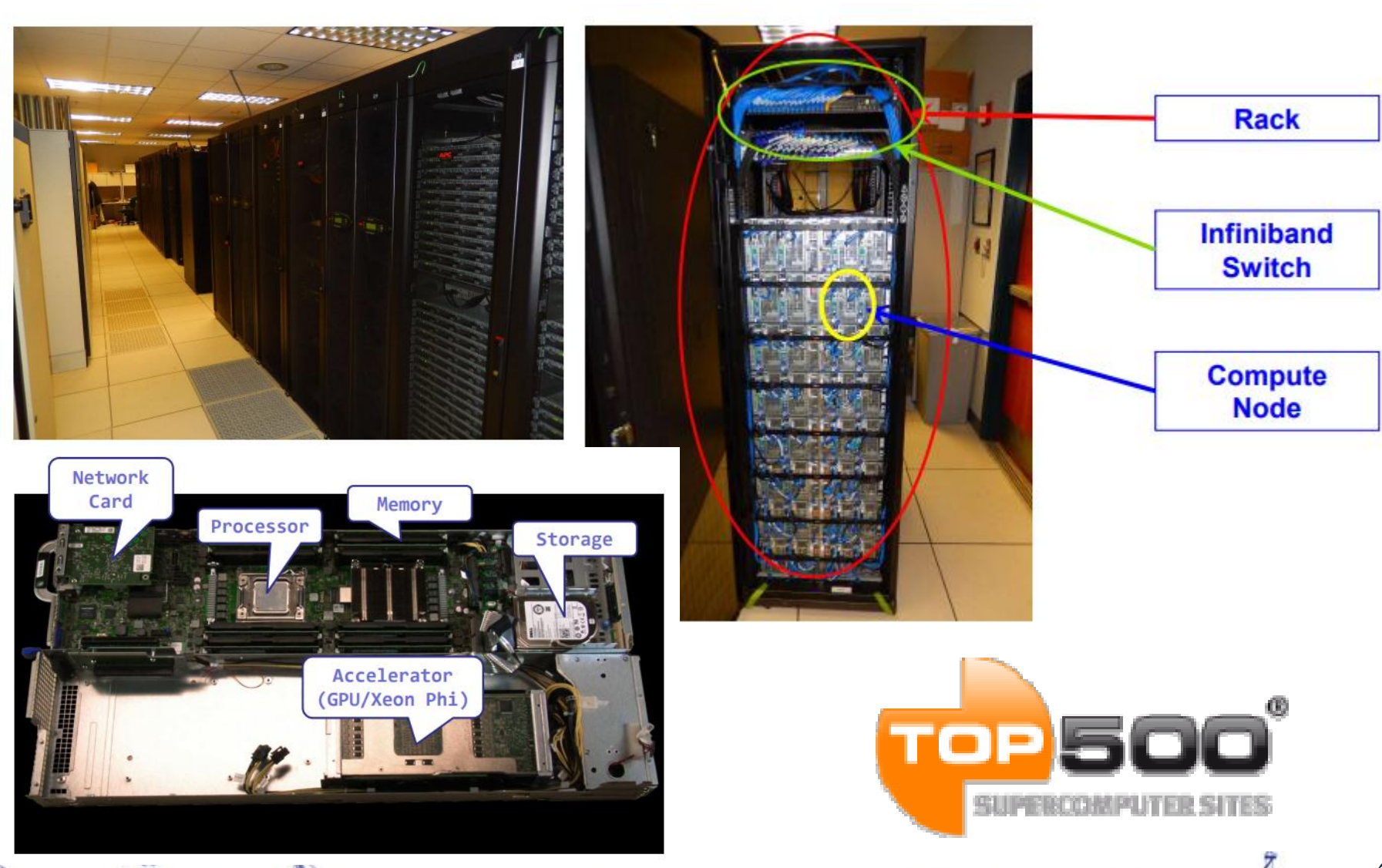




# The w

# Суперкомпьютер (hpc)

The Ask of



# Технические характеристики суперкомпьютера

- 2 Интерактивных узла
  - Two 2.6 GHz 8-Core Sandy Bridge Xeon 64-bit Processors
  - o 64GB 1666MHz Ram
  - o 500GB HD
  - o 40 Gigabit/sec Infiniband network interface
  - o 1 Gigabit Ethernet network interface
  - o Red Hat Enterprise Linux 6
- 382 Вычислительных узла
  - ✓ Two 2.6 GHz 8-Core Sandy Bridge Xeon 64-bit Processors
  - ✓ 32GB 1666MHz Ram
  - ✓ 500GB HD
  - ✓ 40 Gigabit/sec Infiniband network interface
  - ✓ 1 Gigabit Ethernet network interface
  - ✓ Red Hat Enterprise Linux 6

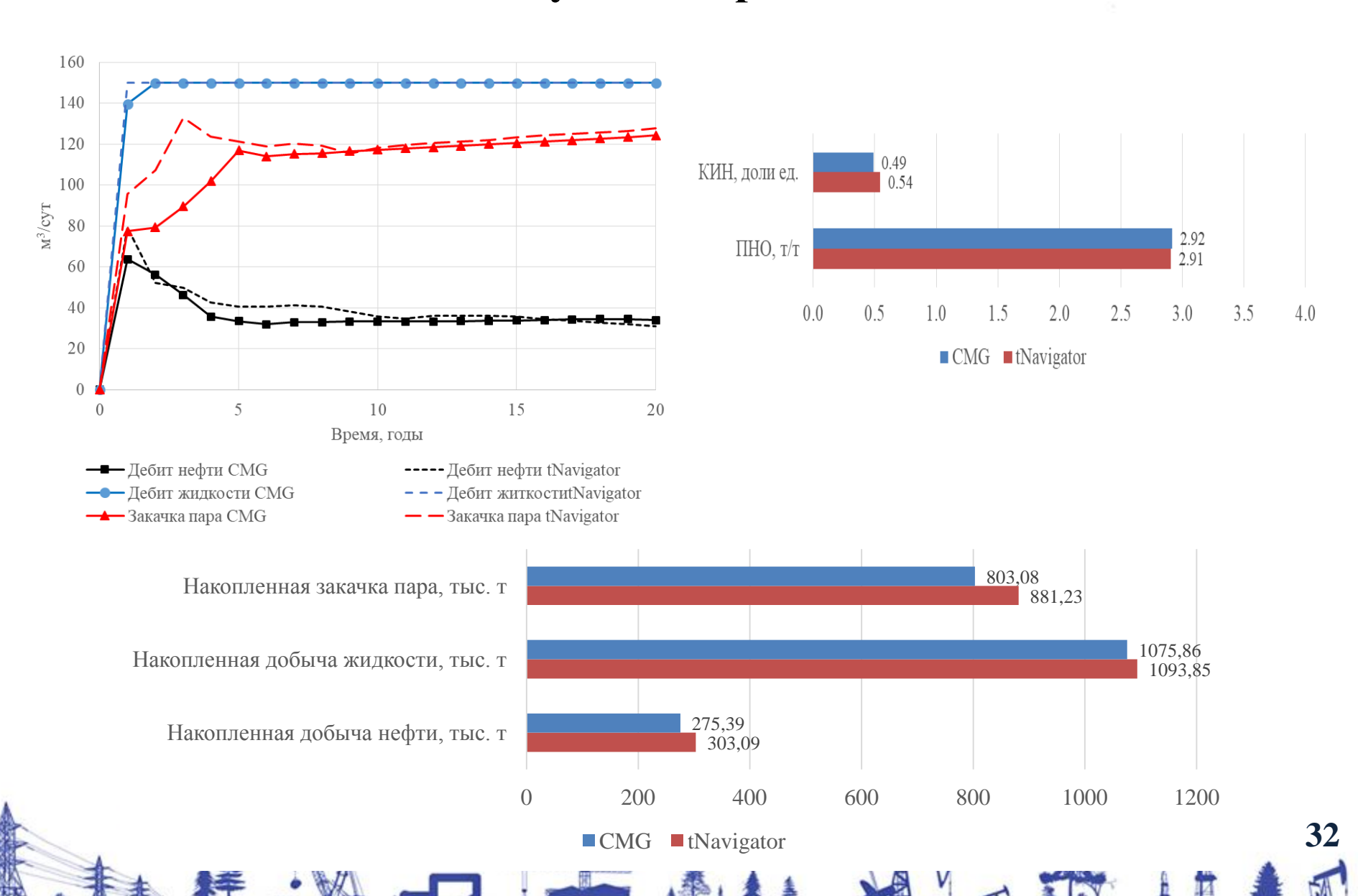
- 50 Вычислительных узлов
- ✓ Two 2.6 GHz 8-Core Sandy Bridge Xeon 64bit Processors
- Two NVIDIA M2090 GPUs
- ✓ 64GB 1666MHz Ram
- ✓ 500GB HD
- ✓ 40 Gigabit/sec Infiniband network interface
- ✓ 1 Gigabit Ethernet network interface
- ✓ Red Hat Enterprise Linux 6
- 8 Вычислительных узлов
  - ✓ Two 2.6 GHz 8-Core Sandy Bridge Xeon 64-bit Processors
  - ✓ 256GB 1666MHz Ram
  - ✓ 500GB HD
  - ✓ 40 Gigabit/sec Infiniband network interface
  - ✓ 1 Gigabit Ethernet network interface
  - ✓ Red Hat Enterprise Linux 6
- Хранилище данных
  - ✓ 400 TB DDN Lustre High-Performance disk 30
  - ✓ 2 TB NFS-mounted/home disk storage



# Результаты расчета

Модель SAGD (2,7 млн. активных ячеек, время моделирования – 10 лет)		
CMG (расчет на суперкомпьютере в	tNavigator (расчет на суперкомпьютере в	
Луизиане) на 1 узле (16 ядер)	Хьюстоне) на 1 узле (20 ядер)	
Время расчета, час		
46	163	
CMG Parallel Solver на нескольких	tNavigator (расчет на суперкомпьютере в	
узлах считать не может (но сегодня	Хьюстоне) на 2 узлах (20 ядер)	
имеются технологии, которые могут		
содержать в одном узле до 100 ядер)		
-	98	

# Результаты расчета







# Спасибо за внимание!

